

Resolvendo o problema do caixeiro viajante usando o Combinatorial Algoritmos artificiais de colônia de abelhas

Dervis Karaboga * e Beyza Gorkemli †

Departamento de Engenharia da Computação, Universidade Erciyes

Kayseri, Kayseri 38700 / Melikgazi, Turquia

** karaboga@erciyes.edu.tr*

† bgorkemli@erciyes.edu.tr

Recebido em 9 de março de 2016

Aceito em 11 de fevereiro de 2019

Publicado em 28 de fevereiro de 2019

Artificial bee colony (ABC) é uma abordagem de otimização bastante popular que tem sido usada em muitos campos, com sua forma não apenas padrão, mas também com versões aprimoradas. Neste artigo, novas versões do algoritmo ABC para resolver o TSP são apresentadas e descritas em detalhes. Uma delas é a versão combinatória do ABC padrão, chamada de algoritmo ABC combinatório (CABC). O outro é uma versão aprimorada do algoritmo CABC, chamado algoritmo CABC rápido (qCABC). Para ver a eficiência das novas versões, 15 diferentes benchmarks de TSP são considerados e os resultados gerados são comparados com diferentes métodos de otimização bem conhecidos. Os resultados da simulação mostram que os algoritmos CABC e qCABC demonstram bom desempenho para TSP e também a nova definição em Quick ABC (qABC) melhora o desempenho de convergência do CABC no TSP.

Palavras-chave: Otimização combinatória; TSP; algoritmo de colônia de abelhas artificial; algoritmo combinatório de colônia de abelhas artificial.

Introdução

Otimização combinatória tenta encontrar as soluções ótimas para os problemas no espaço discreto. O grande conjunto de problemas práticos pode ser definido como a forma de problemas de otimização combinatória, como o problema do caixeiro viajante (TSP), árvore geradora mínima, problema de roteamento de veículos, problema de atribuição quadrática, árvore de caminho mais curto, problema de balanceamento de linha de montagem, problema de programação. Entre eles, o TSP é geralmente usado para testar o desempenho de abordagens recentemente desenvolvidas para problemas de otimização combinatória e relacionados a muitos campos importantes, como logística, produção, transporte e indústrias de semicondutores.

Autor correspondente

O TSP é um problema NP difícil sobre como encontrar um caminho hamiltoniano com custo mínimo.¹ De acordo com o princípio básico do TSP, o vendedor parte de alguma cidade, visita todas as outras exatamente uma vez e retorna à cidade de partida tentando obter um roteiro com custo mínimo. O custo do passeio depende diretamente da duração do passeio. Para calcular a distância entre a cidade eu e a cidade seguinte,

$$d(T[i], T[i+1]), \text{ a distância euclidiana é usada neste estudo e definida pela Eq. (1).}$$

$$d(T[i], T[i+1]) = \sqrt{(x_{eu} - x_{i+1})^2 + (y_{eu} - y_{i+1})^2}. \quad (1)$$

A duração total do passeio f pode ser dada usando as distâncias euclidianas entre as cidades como na

$$f = \sum_{i=1}^{n-1} d(T[i], T[i+1]) + d(T[n], T[1]) \quad (2)$$

onde n representa o número total de cidades.

Muitos pesquisadores propuseram resolver o TSP, que é um problema interessante com uma fácil definição e solução muito difícil. Em primeiro lugar, alguns métodos tradicionais consistindo em métodos exatos e heurísticos foram introduzidos para resolver o TSP. Por exemplo, planos de corte² e ramificar e cortar³ os métodos são capazes de resolver pequenos TSPs de maneira otimizada. Por outro lado, métodos heurísticos como a cadeia de Markov⁴ e simulated annealing⁵ são mais preferíveis para grandes TSPs. Além disso, existem alguns algoritmos baseados em princípios gananciosos que podem ser usados para resolver o TSP, como o algoritmo do vizinho mais próximo.⁶ No entanto, os métodos tradicionais geralmente resultam em tempos de computação exponenciais ou resolvem os problemas com qualidades insatisfatórias. A fim de superar essas deficiências, ou seja, devido à grande importância de se obter melhores soluções em um tempo computacional aceitável, diversos algoritmos metaheurísticos foram desenvolvidos para o TSP na literatura. Eles podem ser agrupados como algoritmos baseados em solução única e baseados em população. Recozimento simulado (SA)⁷ e pesquisa tabu (TS)⁸ são algoritmos baseados em solução única bem conhecidos que pegam uma solução inicial e tentam melhorá-la produzindo soluções vizinhas através do processo de otimização. Por outro lado, o algoritmo genético (GA),⁹ sistema de colônia de formigas (ACS),¹⁰ otimização de enxame de partículas (PSO),¹¹ evolução diferencial (DE)¹² e algoritmo artificial bee colony (ABC)¹³ são as metaheurísticas baseadas em população mais populares que tentam melhorar um conjunto de soluções chamadas de população em paralelo. Alguns desses métodos metaheurísticos foram originalmente propostos para busca em espaços discretos, como ACS, otimização de colônias de abelhas (BCO), algoritmo GA, SA e TS. Dorigo e Gambardella resolveram o TSP usando o ACS.¹⁰ Wang e Feng usaram um sistema de formiga máximo-mínimo para resolver o TSP.¹⁴ Um algoritmo de otimização de colônia de formigas (ACO) foi proposto para TSP por Gan *et al.*¹⁵ Na literatura, para resolver o comportamento de estagnação e o problema de convergência prematura do algoritmo ACO básico no TSP, uma característica de scout foi introduzida. Ilie e Gheorghe propuseram uma nova abordagem distribuída para o algoritmo ACO em uma arquitetura distribuída.¹⁶ A fim de melhorar a qualidade das soluções da ACO, Puris *et al.* usou uma abordagem de dois estágios.¹⁷ Tuba e Jovanovic apresentaram um algoritmo ACO aprimorado com uma nova estratégia de correção de feromônio.

para TSP. ¹⁸ Wong *et al.* algoritmo BCO descrito para TSP ¹⁹ e então, a fim de melhorar as soluções anteriores geradas pelo modelo BCO, eles integraram a heurística 2-opt no BCO. ²⁰ Além disso, existem muitas versões diferentes de TS, ^{21,22} SA, ²³ GA ^{24,9} para TSP. Além dessas metaheurísticas, existem algumas outras metaheurísticas que foram originalmente introduzidas para problemas numéricos, em vez de problemas combinatórios. No entanto, tendo inspirado seu sucesso em problemas numéricos, muitos pesquisadores tentaram descrever as variantes combinatórias dessas abordagens de otimização numérica para resolver o TSP, como o PSO. ^{25,26} e DE. ²⁷⁻²⁹

ABC também foi originalmente proposto para resolver problemas numéricos por Karaboga. ¹³ Um algoritmo metaheurístico baseado em inteligência de enxame que modela o comportamento de forrageamento das abelhas. ^{13,30} Desde 2005, o ABC tem sido usado em muitos campos como uma técnica de otimização eficaz. Existem vários estudos de levantamento relacionados ao ABC na literatura. ³¹⁻³⁵ Alguns dos pesquisadores propuseram versões discretas do ABC para o TSP. Li *et al.* desenvolveu um algoritmo ABC discreto que usa o conceito de operador de troca para resolver o TSP. ³⁶ Ao combinar a abordagem modificada do vizinho mais próximo e a seleção interna aprimorada, Li *et al.* descreveu uma variante do ABC para TSP. ³⁷

Inspirado no sucesso da otimização do ABC em problemas numéricos, ³⁸ e um operador de seleção bem-sucedido de GA introduzido para TSP, ³⁹ os autores definiram um novo mecanismo de busca de vizinhança e propuseram uma nova versão combinatória do ABC para TSP e nomearam esse algoritmo como Combinatorial ABC (CABC). ⁴⁰ Dentro

em 2012, os autores introduziram uma nova definição para o comportamento de forrageamento das abelhas observadoras e chamaram a nova variante de ABC rápido (qABC). ^{41,42} Esses estudos mostraram que a nova definição melhora significativamente o desempenho de convergência do ABC padrão em problemas de otimização numérica. Portanto, eles integraram esta nova definição no algoritmo CABC, e é uma das versões combinatórias do ABC para TSP. ⁴³ Esta foi a primeira vez que o modelo qABC é aplicado a um problema de otimização combinatória. No entanto, esses estudos sobre CABC e qCABC fornecem apenas as informações básicas sobre os algoritmos e os estudos experimentais foram realizados apenas em dois problemas de teste: 150 e 200 cidades. Apenas os melhores e os erros médios são apresentados como resultados e são comparados com os resultados das variantes GA. Além disso, gráficos de convergência são fornecidos. Uma vez que esses estudos limitados não são suficientes para examinar o desempenho desses algoritmos, neste artigo, os algoritmos CABC e qCABC são descritos de uma maneira mais detalhada e seus desempenhos são examinados profundamente em um conjunto maior de benchmarks de TSP usando testes estatísticos. Seus resultados não são apenas comparados com os resultados das variantes GA, mas também com os resultados de alguns outros algoritmos de otimização de última geração, como ACS e BCO, que também são algoritmos de otimização baseados em inteligência de enxame. E também alguns estudos de ajuste no limite do parâmetro de controle são realizados para os algoritmos CABC e qCABC. Além disso, algumas análises sobre os tempos de CPU que os algoritmos requerem são fornecidas neste estudo. O resto do artigo está organizado da seguinte forma; na Seção 2, o algoritmo CABC é apresentado, e a Seção 3 descreve o algoritmo qCABC. Os resultados da simulação são apresentados na Seção 4 e na Seção 5, a conclusão é dada. E também alguns estudos de ajuste no limite do parâmetro de controle são realizados para os algoritmos CABC e qCABC. Além disso, algumas análises sobre os tempos de CPU que os algoritmos requerem são fornecidas neste estudo. O resto do artigo está organizado da seguinte forma; na Seção 2, o algoritmo CABC é apresentado, e a Seção 3 descreve o algoritmo qCABC. Os resultados da simulação são apresentados na Seção 4 e na Seção 5, a conclusão é dada. E também alguns estudos de ajuste no limite do parâmetro de controle são realizados para os algoritmos CABC e qCABC. Além disso, algumas análises sobre os tempos de CPU que os algoritmos requerem são fornecidas neste estudo. O resto do artigo está organizado da seguinte forma; na Seção 2, o algoritmo CABC é apresentado, e na Seção 3 descreve o algoritmo qCABC. Os resultados da simulação são apresentados na Seção 4 e na Seção 5, a conclusão é fornecida.

o algoritmo CABC é uma variante do ABC que funciona em espaço discreto e foi introduzido na literatura em 2011.⁴⁰ No algoritmo CABC, as fases básicas do algoritmo ABC padrão, que também são adequadas para o espaço de pesquisa discreto, são integralmente protegidas. Apenas o mecanismo de busca de vizinhança é adaptado para otimização combinatória para TSP. É fato conhecido que o mecanismo de busca na vizinhança tem um efeito significativo no desempenho de um algoritmo de otimização. Às vezes é difícil determinar se um bom ou mau desempenho se deve ao próprio algoritmo ou ao mecanismo de busca na vizinhança usado dentro dele. Um dos operadores de mutação de sucesso do GA para TSP, que foi proposto por Albayrak e Allahverdi,³⁹ é usado para esta adaptação. Este operador de mutação é denominado Greedy Sub Tour Mutation (GSTM). Assim, embora as soluções vizinhas sejam produzidas usando este poderoso mecanismo para aumentar o sucesso geral do processo de otimização proposto, ao mesmo tempo também é possível comparar os CABC's *desempenho algorítmico puro* com o GA para problemas de otimização combinatória.

O fluxograma do algoritmo CABC é dado na Fig. 1. Deve ser declarado que as etapas básicas do CABC são semelhantes ao ABC padrão. A adaptação do ABC ao espaço discreto é baseada principalmente no mecanismo de produção de abelhas vizinhas, utilizado nas etapas de produção de abelhas empregadas e observadoras para o TSP. As etapas da produção vizinha e do mecanismo são dados na Fig. 2 para uma solução x_{eu} . Para uma compreensão clara deste mecanismo, os detalhes do operador GSTM podem ser examinados na Ref. 39.

Neste mecanismo, T_{eu} refere-se ao passeio original que representa a solução x_{eu} em pesquisas de vizinhança. *aleatória* é usado como um número gerado aleatoriamente em (0,1). Fontes de alimentos (soluções) são cadeias de cidades que representam soluções viáveis. Os parâmetros do operador GSTM são apresentados em mais detalhes na Ref. 39. Esses parâmetros podem ser listados como: P_{RC} (probabilidade de reconexão), P_{CP} (probabilidade de correção e perturbação), P_{EU} (probabilidade de linearidade), eu_{MIN} (duração mínima do sub tour), eu_{MAX} (duração máxima do sub tour), NL_{MAX} (tamanho da lista de vizinhanças). Ganho de ponto R , G_R é calculado usando a Eq. (3) da mesma forma que na Ref. 39

$$G_R = d(T[R], T[R - 1]) + d(T[NL_R], T[NL_R - 1]) - (d(T[R], T[NL_R]) + d(T[R - 1], T[NL_R - 1])) \quad (3)$$

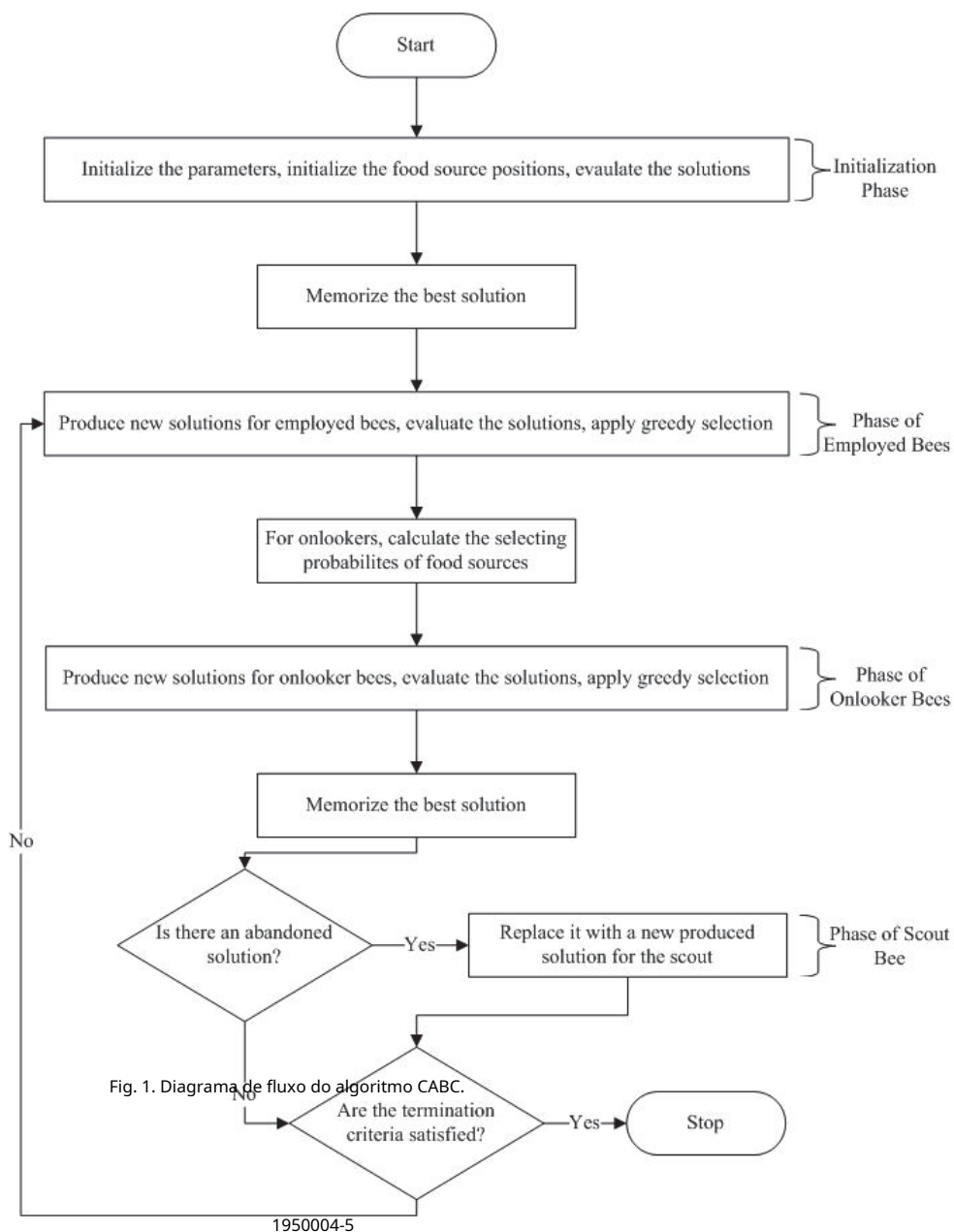
onde $d(T[R], T[R - 1])$ representa a distância entre o ponto R e o ponto que visitou pouco antes do R na turnê T .

As etapas detalhadas do algoritmo CABC são fornecidas na Fig. 3.

A otimização do TSP visa minimizar a duração total do circuito fechado. Então, a qualidade de cada turnê $caber_{eu}$ é calculado usando a Eq. (4)

$$caber_i = \frac{1}{1 + f_{eu}} \quad (4)$$

onde f_{eu} refere-se ao valor objetivo, em outras palavras, a duração do passeio da solução x



Selecione uma solução aleatoriamente x_k na população. ($k = i$)

Selecione uma cidade aleatoriamente j .

Determine o valor da direção do parâmetro de pesquisa φ aleatoriamente. ($\varphi = -1, 1$)

E se ($\varphi = -1$) então

A cidade visitada pouco antes da cidade j em turnê T_{eu} é definida como a cidade visitada apenas antes da cidade j em turnê T_k .

senão

A cidade visitada imediatamente após a cidade j em turnê T_{eu} é definida como a cidade visitada imediatamente após a cidade j em turnê T_k .

fim se// Um novo tour fechado T_{eu} é produzido com esta operação.

Como resultado desta nova conexão, haverá um sub tour aberto T_{*eu} . Este sub

a primeira cidade do passeio é atribuída como R_1 e a última cidade é atribuída como R_2

E se ($aleatória \leq P_{RC}$) então

Adicionar T_{eu} para T_{eu} para que uma extensão mínima seja gerada.

senão

E se ($aleatória \leq P_{CP}$) então

Comece da posição de R_1 dentro T_{eu} e adicione cada cidade de T_{*eu} para o T_{eu} de rolando ou misturando-se com P_{eu} probabilidade. (Se $aleatória \leq P_{eu}$ em seguida, adicione a cidade misturando, do contrário adicione a cidade rolando)

senão

Selecione aleatoriamente um vizinho das listas de vizinhos para os pontos R_1 e R_2 (NL_{R_1} e NL_{R_2}). Para garantir a inversão, esses pontos selecionados não devem ser as cidades imediatamente anteriores de R_1 e R_2 em turnê T_{eu} .)

Inverta os pontos NL_{R_1} ou NL_{R_2} que fornece ganho máximo organizando esses pontos para serem os vizinhos (cidades imediatamente anteriores) dos pontos R_1 ou R_2

fim se

fim se

Fig. 2. Mecanismo de produção vizinho.

Os valores de probabilidade de ser selecionado por uma abelha observadora são formulados com a Eq. (5) para passeios.

$$p_i = \frac{0.9 \times \underset{\text{em forma melhor}}{caber_i} + 0,1.}{\quad \quad \quad}$$

(5)

O valor limite, eu , é calculado pela Eq. (6)

$$I = \frac{cs \times D}{eu}$$

(6)

Fase de inicialização:

Defina os valores iniciais dos parâmetros de controle: tamanho da colônia cs , número máximo de iterações $MaxNumber$.

Inicialize as posições das fontes de alimentos (passeios iniciais) x_{eu} . $i = 1, 2, \dots, SN$.

Avalie a duração do passeio.

Memorize o melhor passeio.

$c = 0$

repetir

Fase de abelhas empregadas: para cada abelha empregada;

Gerar uma nova solução candidata (tour) U_{eu} na vizinhança de x_{eu}

(Fig. 2) e avalie este passeio.

Selecione o melhor entre x_{eu} e U_{eu} .

Usando seus valores de aptidão calculados pela Eq. (4), calcule os valores de probabilidade

p_{eu} para os passeios x_{eu} Com Eq. (5).

Fase das abelhas espectadoras: para cada abelha observadora;

Dependendo p_{eu} valores, selecione um tour x_{eu} .

Gerar uma nova solução candidata (tour) U_{eu} na vizinhança de x_{eu}

(Fig. 2) e avalie esta solução.

Selecione o melhor entre x_{eu} e U_{eu} .

Memorize o melhor passeio realizado até o momento.

Fase de abelha batedora: Se houver um roteiro abandonado (o roteiro que não pôde ser melhorado por meio de um número predeterminado de tentativas. Esse número é chamado de "limite"), substitua-o por um novo roteiro para o batedor (esse roteiro será gerado usando a mesma estratégia como na fase de inicialização).

$c = c + 1$

até ($c = MaxNumber$)

Fig. 3. Etapas detalhadas do algoritmo CABC.

nde cs representa o tamanho da colônia e D é a dimensão do problema ($D = n$). eu é um eficiente de divisão que tem um papel importante ao determinar o valor do parâmetro h_{limite} .

Algoritmo de Colônia de Abelhas Artificial Combinatório Rápido

qCABC

Comparando com o algoritmo ABC padrão, o qABC simula mais de perto o comportamento de forrageadoras de abelhas reais.^{41,42} Em colônias de abelhas melíferas reais, as abelhas empregadas e abelhas observadoras usam diferentes formas de busca enquanto determinam suas fontes de alimento. As abelhas empregadas exploram as fontes de alimento que já visitaram antes. Contudo,

comportamento de forrageamento das abelhas observadoras não se baseia em seus próprios conhecimentos sobre as fontes de alimento. Um espectador decide uma região de fontes de alimento observando as danças das abelhas empregadas. Quando ela chega à região escolhida, onde não visitou e viu antes, ela examina visualmente as fontes de cima e escolhe a mais adequada. Ou seja, antes de tomar uma decisão sobre uma fonte de alimento, a abelha observadora avalia as informações de fontes vizinhas que são semelhantes em termos de posição, já que ela visita aquela região pela primeira vez. No entanto, no algoritmo ABC básico, na vez que se assume que tanto as abelhas empregadas quanto as observadoras determinam as fontes de alimento da mesma maneira, a mesma fórmula é definida e usada para ambas as forrageadoras. Para o comportamento de forrageamento das abelhas observadoras, uma nova definição foi introduzida e descreveu uma nova variante do ABC.^{41,42} e usado para resolver problemas de otimização numérica. Na literatura, alguns pesquisadores propuseram superar a lentidão do desempenho de convergência do ABC, introduzindo diferentes estratégias como modificação, hibridização, etc.³¹ Usando a ideia qABC, a capacidade de busca local do ABC é melhorada, uma vez que mais testes são realizados pelos espectadores para melhorar suas soluções, que são as soluções mais promissoras. Detalhes do algoritmo qABC proposto para problemas numéricos podem ser encontrados nas Refs. 41 e 42. É muito claro que, se uma medida de similaridade apropriada for definida para as soluções para o TSP, essa ideia útil pode ser facilmente incorporada no CABO proposto para problemas combinatórios também.

A fim de usar a definição em qABC para as abelhas observadoras no algoritmo CABO, a medida de similaridade é definida para as soluções de TSP na Ref. 43. Essa nova variante é chamada de ABC-qCABO combinatória rápida. No qABC, a distância euclidiana é proposta para determinar a diferença entre duas soluções de otimização numérica. Isto que se pretende obter a combinação ótima das cidades a serem visitadas, a similaridade das soluções pode ser definida com base nas mesmas conexões das cidades nos roteiros fechados no TSP. Portanto, a Expressão 7 e a Eq. (8) pode ser usado para determinar a distância entre duas soluções

seja X_m ,

$$d_{Eu\ estou}(j) = \begin{cases} 0, & \text{se } T_{eu}[j+1] = T_m[j+1] \text{ ou } T_{eu}[j+1] = T_m[j-1] \\ 1, & \text{senão} \end{cases} \quad (7)$$

onde $T_{eu}[j+1]$ e $T_m[j+1]$ referem-se às cidades visitadas imediatamente após a cidade j no turnê T_{eu} e T_m , respectivamente. De forma similar, $T_m[j-1]$ refere-se à cidade que visitou pouco antes da cidade j no turnê T_m que está relacionado com a solução X_m e $d_{Eu\ estou}$ apresenta um vetor de distância entre dois passeios fechados X_{eu} e X_m . Conforme explicado acima, a definição de similaridade é baseada nas mesmas conexões das cidades nos passeios fechados. Para calcular a distância entre duas soluções, $d(i, m)$, a seguinte equação é usada.

$$d(i, m) = \sum_{j=1}^n d_{Eu\ estou}(j). \quad (8)$$

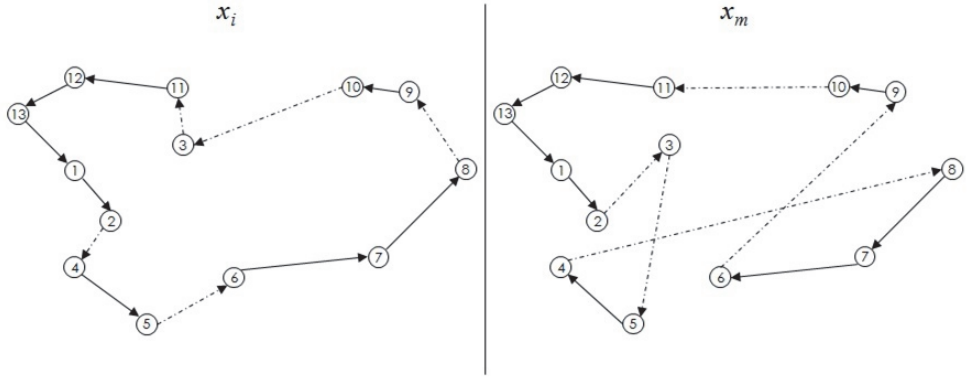


Fig. 4. Um exemplo de medida de similaridade entre dois passeios. 7 8 9 10 11 12 13

$$dv_m(j) \rightarrow \begin{array}{|c|c|c|c|c|c|c|c|c|c|c|c|c|} \hline 0 & 1 & 1 & 0 & 1 & 0 & 0 & 1 & 0 & 1 & 0 & 0 & 0 \\ \hline \end{array}$$

Um exemplo simples para a medida de similaridade do qCABC é dado na Fig. 4. Neste exemplo, um TSP de 13 cidades é usado. Usando a expressão 7, vetor de distância dv_{Eu} produzido para duas soluções diferentes deste problema, x_{eu} e x_m . Ao obter este vetor, verifica-se se existe ligação entre as mesmas cidades. Nas soluções, x_{eu} e x_m . Se houver, a célula relacionada do vetor é definida com o valor "0", caso contrário, o valor "1" é atribuído a esta célula. Depois de produzir este vetor de distância, a distância total $d(i, m)$ é calculado usando a Eq. (8). A vizinhança de x_{eu} é descrito dependendo do coeficiente do raio da vizinhança r e a distância média calculada para x_{eu} , md_{eu} . md_{eu} é a distância média entre x_{eu} e o resto das soluções na população e definidas pela Eq. (9).

$$md_i = \frac{\sum_{m=1}^{SN} d(i, m)}{SN - 1} \quad (9)$$

onde, SN representa o número de soluções na população.

Finalmente, a seguinte regra é usada para determinar as soluções vizinhas de x_{eu} .

$$\begin{array}{l} \text{E se } d(i, m) \leq r \times md_{eu} \text{ então } x_m \text{ é um vizinho de } x_{eu}, \\ \text{senão não} \end{array} \quad (10)$$

As etapas detalhadas do algoritmo qCABC são fornecidas na Fig. 5.

Observe que apenas a diferença entre as variantes CABC e qCABC é com a fase de abelhas servadoras. Embora as abelhas empregadas e observadoras determinem seus novos passeios da mesma maneira no CABC, eles o fazem de forma diferente no qCABC.

Fase de inicialização:

Defina os valores iniciais dos parâmetros de controle: tamanho da colônia cs , número máximo de iterações $MaxNumber$.

Inicialize as posições das fontes de alimentos (passeios iniciais) $x_{eu}, i = 1, 2, \dots, SN$.

Avalie a duração do passeio.

Memorize o melhor passeio.

$c = 0$

repetir

Fase de abelhas empregadas: para cada abelha empregada;

Gerar uma nova solução candidata (tour) U_{eu} na vizinhança de x_{eu}

(Fig. 2) e avalie este passeio.

Selecione o melhor entre x_{eu} e U_{eu} .

Usando seus valores de aptidão calculados pela Eq. (4), calcule os valores de probabilidade p_{eu} para os passeios x_{eu} Com Eq. (5).

Fase das abelhas espectadoras: para cada abelha observadora;

Dependendo p_{eu} valores, selecione um tour x_{eu} .

Determine o melhor passeio x_{eu}^{melhor} entre os vizinhos determinados por

Expressão 10 do passeio x_{eu} e ele mesmo.

Gerar uma nova solução candidata (tour) U_{melhor} na vizinhança de x_{melhor} N_{eu}

(Fig. 2) e avalie esta solução.

Selecione o melhor entre x_{melhor} e U_{melhor} . N_{eu}

Memorize o melhor passeio realizado até o momento.

Fase de abelha batedora: Se houver um roteiro abandonado (o roteiro que não pôde ser melhorado por meio de um número predeterminado de tentativas. Esse número é chamado de "limite"), substitua-o por um novo roteiro para o batedor (esse roteiro será gerado usando a mesma estratégia como na fase de inicialização).

$c = c + 1$

até ($c = MaxNumber$)

Fig. 5. Etapas detalhadas do algoritmo qCABC.

Estudo Experimental e Resultados da Simulação

este estudo, primeiro um conjunto de experimentos é conduzido sobre o valor do parâmetro limite para os algoritmos CABC e qCABC, uma vez que o parâmetro limite é um parâmetro de controle significativo do ABC.³⁸ E, alguns estudos de comparação são realizados entre dez métodos de otimização diferentes. Esses algoritmos são CABC, CABC e oito variantes diferentes de GA com diferentes operadores de mutação (Exchange Mutation (EXC), Displacement Mutation (DISP), Inversion Mutation (INV), Insertion Mutation (INS), Simple Inversion Mutation (SIM), Scramble

utation (SCM), Greedy Swap Mutation (GSM) e GTSM). Nestes estudos de comparação, resultados obtidos por GAs são retirados do estudo de Ref. 39 que fornece o operador TSM que é adaptado ao mecanismo de busca de vizinhança do ABC no CABc e no qCABc. Portanto, neste estudo, os mesmos problemas de teste são considerados na Ref. 39. Além disso, os algoritmos CABc e qCABc são executados para o problema FL1577 a fim de ver o desempenho dos algoritmos baseados em ABC em um problema com muitas cidades do que outros 14 benchmarks com vários números de cidades. Esses problemas de teste são benchmarks de TSP do tipo simétrico. Os problemas de teste, os números das cidades dos problemas e os comprimentos de passeio ideais são fornecidos na Tabela 1. Eles também podem ser encontrados no TSPLIB: <http://www.iwr.uniheidelberg.de/groups/comopt/software/TSPLIB95/>. Em nosso estudo,

Tabela 1. Comprimentos de passeio ideais dos benchmarks TSP.

Problema	Número de cidades	Comprimento ideal do passeio
Berlin52	52	7542
KroA100	100	21282
Pr144	144	58537
Ch150	150	6528
KroB150	150	26130
Pr152	152	73682
Rat195	195	23223
D198	198	15780
KroA200	200	29368
Ts225	225	126643
Pr226	226	80369
Pr299	299	48191
Lin318	318	42029
Pcb442	442	50778
FL1577	1577	22249

Para todos os experimentos, os algoritmos foram executados dez vezes com sementes aleatórias como na Ref. 39. Para uma comparação justa, a heurística de construção do tour vizinho mais próximo é usada para produzir as soluções iniciais e os mesmos valores de parâmetro são tomados como na Ref. 39. Considerando os mecanismos de busca dos algoritmos CABc e qCABc, ~~o~~ o parâmetro eu_{MAX} está definido como $n/2$, não $Int((n))$ como na Ref. 39. As configurações dos parâmetros dos algoritmos CABc e qCABc são fornecidas na Tabela 2.

Em primeiro lugar, uma vez que o limite do parâmetro tem um efeito significativo no desempenho do algoritmo ABC,³⁸ realizamos alguns experimentos sobre o parâmetro limite dos algoritmos CABc e qCABc para os benchmarks de TSP apresentados na Tabela 1. Nesses experimentos, para cada problema, procuramos os valores apropriados do limite eu alterando o coeficiente de divisão EU . O valor médio, o desvio padrão e o melhor valor dos comprimentos de percurso obtidos finalmente dessas dez execuções são dados nas Tabelas 3-6 para o algoritmo CABc e nas Tabelas 7-10 para o algoritmo qCABc. Quando

Tabela 2. Configurações de parâmetro.

Parâmetro	CABC	qCABC
<i>cs</i>	40	40
<i>Número máximo de avaliações</i>	800 000	800 000
<i>P_{RC}</i>	0,5	0,5
<i>P_{PC}</i>	0,8	0,8
<i>P_{eu}</i>	0,2	0,2
<i>eu MIN</i>	2	2
<i>eu MAX</i>	<i>n / 2</i>	<i>n / 2</i>
<i>NL MAX</i>	5	5
<i>r</i>	-	1
<i>eu</i>	1, 2, 3, 4	1, 2, 3, 4

tabelas 3–10 são examinadas e pode ser visto a partir dos resultados que o parâmetro limite tem um efeito importante no desempenho dos algoritmos ABC. Os melhores valores das colunas da tabela são escritos em negrito e os valores ideais são escritos em itálico.

Se compararmos o valor objetivo médio de dez execuções independentes, o algoritmo ABC dá melhores resultados para Pr144 quando $L = 1$. Para problemas KroA100, Pr152, D198, KroA200 e Pcb442, esta abordagem obtém melhores resultados quando $L = 2$. Problemas de KroA150, Krob150, Rat195 e Lin 318 resolvidos com menos erros quando $L = 3$. Os problemas 3 e 226, Pr299, Fl1577 são resolvidos com menos erros quando *eu* está definido como $L = 4$. O algoritmo CABC atinge o comprimento ideal do passeio e o valor do desvio padrão é zero para o problema Berlin52 para todos os valores-limite experimentados e para Ts225 quando $L = 4$. Os comprimentos de tour ideais dos problemas KroA100, Ts225 e Pr152 também são encontrados pelo algoritmo qCABC para quatro diferentes *eu* valores. Além disso, quando o $L = 3$, o comprimento ideal do tour de Pr144 também é alcançado.

Quando os resultados de qCABC são avaliados, considerando o valor objetivo médio de dez execuções independentes, pode-se observar que este algoritmo obtém melhores resultados para Rat195, KroA200 e Lin318 se *eu* está definido como $L = 1$. O problema Pr144 é resolvido com menos erros quando $L = 2$. Quando $L = 3$, o algoritmo produz melhores resultados para KroA100, Krob150, Pr152, Pcb442. No entanto, quando o valor limite do algoritmo qCABC é ajustado com $L = 4$, problemas 4, Ch150, D198, Pr226, Pr299 e Fl1577 resolvidos com menos erros. Semelhante ao algoritmo CABC, o algoritmo qCABC também atinge o comprimento de percurso ideal e o valor do desvio padrão é zero para o problema Berlin52 para todos os valores limite experimentados e para Ts225 quando $L = 2$ e $L = 4$. Comprimentos de turnos ótimos de problemas KroA100, Pr152 e Ts225 também são obtidos por qCABC para quatro diferentes *eu* valores. O comprimento ideal do passeio é encontrado para Pr144 quando $L = 3$ por qCABC.

Considerando os valores médios da função objetivo, o mais adequado *eu* os valores são determinados para cada problema. E usando esses resultados, os desempenhos de CABC, qCABC e oito variantes diferentes de GA são comparados nas Tabelas 11 e 12. Nesta comparação, os melhores valores de erro percentual e médio são usados

eu	Berlin52				KroA100				Pr144				Ch150			
	Mau	Std	Melhor		Mau	Std	Melhor		Mau	Std	Melhor		Mau	Std	Melhor	
1	7542	0	7542		21297,4	29,4184	21282		58631	35,3072	58590		6565	14,7037	6549	
2	7542	0	7542		21291	8,5790	21282		58641,6	41,0638	58590		6561,2	7,7175	6549	
3	7542	0	7542		21291,4	11,4123	21282		58649,4	66,6126	58537		6556,6	8,8566	6542	
4	7542	0	7542		21292,6	13,6250	21282		58632,9	38,2582	58590		6566,4	8,9353	6549	

Tabela 4. Continuação da Tabela 3.

eu	KroB150				Pr152				Rat195				D198			
	Mau	Std	Melhor		Mau	Std	Melhor		Mau	Std	Melhor		Mau	Std	Melhor	
1	26350,1	52,2904	1950004		73855,7	142,6464	73682		2358,2	3,3704	2353		15866,5	28,3275	15825	
2	26338	59,6406	13		73792	142,2385	73682		2355,4	6,0033	2343		15854,4	25,8503	15825	
3	26311,6	49,6955			73797,1	109,6654	73682		2350	7,2250	2337		15862,4	18,6022	15838	
4	26334,6	44,2384			73842,2	93,5252	73682		2352,3	4,7550	2345		15863,9	24,3740	15826	

Tabela 5. Tabela 3 continuação.

eu	KroA200				Ts225				Pr226				Pr299			
	Mau	Std	Melhor		Mau	Std	Melhor		Mau	Std	Melhor		Mau	Std	Melhor	
1	29551,5	35,3674	29487		126706,8	127,6	126643		81152,3	144,8199	80929		48775	53,9870	48693	
2	29517,5	46,5623	29467		126751,7	169,4007	126643		81133	123,4480	80872		48743,1	98,0617	48640	
3	29545,2	34,6087	29503		126706,8	127,6	126643		81005,9	89,3705	80908		48657,2	138,3523	48470	
4	29532,6	37,7603	29503		126643	0	126643		80999,6	98,1745	80860		48649,2	86,0451	48512	

Tabela 6. Tabela 5 continuu  o.

Lin318		Pcb442		FI1577	
eu	Mau	Std	Melhor	Mau	Melhor
1	43155	123,1073	42947	51607,3	22852
2	43037,2	186,2089	42756	51539,1	22813,7
3	43018,1	127,4523	42810	51555,3	22814,3
4	43126,7	118,0432	42898	51556,3	22791,1
				45,7918	22703

Tabela 7. Experimentos de limite do algoritmo qCABC.

Berlin52		KroA100		Pr144		Ch150	
eu	Mau	Std	Melhor	Mau	Std	Melhor	Melhor
1	7542	0	21291,4	10,0817	21282	58656,9	65,7076
2	7542	0	21288,9	10,6626	21282	58624,2	39,7437
3	7542	0	21284,4	4,8	21282	58626,1	49,1558
4	7542	0	21289	9,2520	21282	58632,6	41,4782
						58570	6561,9
							4,9285

Tabela 8. Continua  o da Tabela 7.

KroB150		Pr152		Rat195		D198	
eu	Mau	Std	Melhor	Mau	Std	Melhor	Melhor
1	26384,2	72,8146	26257	73872,3	147,1292	73682	2350,4
2	26344	43,9500	26251	73903,5	116,2327	73682	2353,2
3	26317,1	68,4872	26193	73843,2	107,3665	73682	2353,4
4	26358,3	33,0395	26284	73850,3	116,7810	73682	2350,5
						2340	6,8739
						15856,1	24,8775

Tabela 9. Continuação da Tabela 7.

KroA200		Ts225				Pr226				Pr299			
eu	Mau	Std	Melhor	Mau	Std	Melhor	Mau	Std	Melhor	Mau	Std	Melhor	Melhor
1	29508,4	43,3917	29420	126674,9	95,7	126643	81119,6	160,5143	80829	48754,6	134,6820	48524	48524
2	29526,6	43,2856	29461	126643	0	126643	81057,7	118,4399	80876	48723	114,1622	48513	48513
3	29512,5	28,4824	29477	126651,3	24,9	126643	81108,3	57,0159	81040	48690,7	154,7043	48452	48452
4	29534,3	35,5276	29477	126643	0	126643	81051,6	131,8523	80804	48617,2	133,5049	48347	48347

1950004-15

Tabela 10. Tabela 7 continuação.

Lin318		Pcb442				Eli577			
eu	Mau	Std	Melhor	Mau	Std	Melhor	Mau	Std	Melhor
1	42986,4	146,4494	42809	51537	116,2188	51387	22841,3	95,4694	22707
2	43037,1	110,8958	42829	51542,3	71,0972	51403	22793,7	83,6935	22677
3	43069,5	129,1551	42837	51524,2	151,7859	51240	22758,7	40,7015	22688
4	43052,8	99,2510	42774	51543,8	84,6638	51419	22803,9	50,4251	22742

Tabela 11. Comparação de desempenho de algoritmos.

todo		BERLIN52	KROA100	PR144	CH150	KROB150	PR152	RAT195
C	Best Err. (%)	0	0,1692	0,2426	1,9761	2,9277	2,0358	4,477
	Ave. Err. (%)	2,0353	2,8714	0,533	2,8232	5,0919	3,99	5,9836
P	Best Err. (%)	0,0663	4,2947	1,4845	3,4161	7,8263	4,7216	5,0366
	Ave. Err. (%)	1,424	8,0552	1,7628	3,9859	10,4635	5,5932	6,9393
Y	Best Err. (%)	0	2,6125	1,0284	2,9412	7,1183	3,1202	3,7021
	Ave. Err. (%)	1,1854	4,7965	1,9755	3,6596	9,0521	5,0318	6,3108
S	Best Err. (%)	0	0,4652	0,1879	0,6434	1,8178	1,3938	4,2617
	Ave. Err. (%)	0,1525	3,0726	1,3802	2,3943	4,5488	2,8468	5,7426
M	Best Err. (%)	0	0,1692	0,2255	0,8425	2,8397	1,5282	2,3676
	Ave. Err. (%)	0,6099	1,3114	1,1717	1,5809	3,8596	2,7976	4,1886
M	Best Err. (%)	0	0,8176	0,1589	0,9344	3,2836	1,5146	4,6492
	Ave. Err. (%)	0	3,6966	1,3016	2,1078	7,0609	2,694	5,9923
M	Best Err. (%)	0	0,3007	0,2426	1,6544	3,452	2,2977	4,3048
	Ave. Err. (%)	0,9931	3,698	0,6891	2,4908	4,9541	2,9112	6,5476
TM	Best Err. (%)	0	0	0	0,4596	0,9644	0,7695	0,6027
	Ave. Err. (%)	0	1,1836	1,0809	0,6357	1,7616	1,6202	1,8425
BC	Best Err. (%)	0	0	0,0905	0,2145	0,3100	0	0,6027
	Ave. Err. (%)	0	0,0423	0,1606	0,4381	0,6950	0,1493	1,1623
ABC	Best Err. (%)	0	0	0,0905	0,3217	0,2411	0	0,7318
	Ave. Err. (%)	0	0,0113	0,1490	0,5193	0,7160	0,2188	1,1795

A fim de considerar os resultados apresentados na Ref. 39. Os erros percentuais são calculados usando a Eq. (11)

$$Erro\ (%) = \frac{eu_F - eu_O}{eu_O} \times 100$$

(11)

onde eu_F é a duração do passeio encontrada pelo algoritmo e eu_O é o comprimento de passeio ideal para o problema.

Nas Tabelas 11 e 12, podemos ver que os resultados dos algoritmos baseados em ABC são geralmente próximos uns dos outros, mas muito melhores do que outras variantes do GA. Apenas para problemas Lin318, Rat195 e Pr144, o GSTM fornece melhores resultados em termos da melhor de dez execuções independentes. Observe que, quando $L = 3$, tanto CABC como qCABC atingem 0% de erro para Pr144, no entanto, nesta comparação, são escolhidos os valores limite que fornecem melhores valores médios de dez execuções.

A fim de mostrar a robustez do ABCs, nas Tabelas 13 e 14, os resultados do CABC e qCABC também são comparados aos resultados do GA quando os valores limites de CABC e qCABC são calculados definindo o valor de eu igual para todos os problemas ($L = 2$) que a equação original definida na literatura para ABC,⁴⁴ e também usado para qABC.⁴² A tabela mostra que, mesmo que não seja realizado um estudo de ajuste de parâmetros para cada problema, os algoritmos CABC e qCABC apresentam melhor desempenho nos problemas considerados e as soluções geralmente são melhores do que as encontradas pelas variantes do GA.

Ambas as tabelas de comparação mostram que os algoritmos GSTM, CABC e qCABC superam os outros algoritmos claramente. Considerando os erros percentuais médios

Tabela 12. Tabela 11 continuação.

Método	D198	KROA200	TS225	PR226	PR299	LIN318	PCB442	FL1577
EXC	Best Err. (%)	1.9709	2.5061	3.0424	4.9186	10,2198	7,3437	-
	Ave. Err. (%)	4.9728	4.9877	3.8174	7.2295	15,1775	10,4774	-
DISP	Best Err. (%)	3.891	6.7284	3.3693	4.1322	12,2616	11,3435	-
	Ave. Err. (%)	5.9835	8.8276	3.8916	7.993	16,849	12,3053	-
INV	Best Err. (%)	2.6743	6.2245	3.1640	8.1512	10,9543	10,5124	-
	Ave. Err. (%)	4.9823	8.3594	3.7355	8.8249	15,706	11,6322	-
INS	Best Err. (%)	2.0279	2.1554	3.1751	3.8423	3,8804	8,9685	-
	Ave. Err. (%)	3.41	4.2819	3.8767	6.484	11,4187	11,0585	-
SIM	Best Err. (%)	1.6984	1.5766	1.6930	2.5769	6,439	6,3728	-
	Ave. Err. (%)	2.5241	3.2457	2.5818	4.1795	9,1264	8,124	-
SCM	Best Err. (%)	3.1179	3.9873	2.7945	3.7875	10,8776	7,8597	-
	Ave. Err. (%)	4.5818	5.4502	3.8029	5.0694	13,8686	10,6251	-
GSM	Best Err. (%)	3.0482	4.4675	3.0424	5.0517	8,8191	5,7643	-
	Ave. Err. (%)	4.2421	5.7018	4.4254	6.4485	13,6295	8,0389	-
GSTM	Best Err. (%)	0.3866	0.8683	0.2527	0.7242	1,2326	2,0501	-
	Ave. Err. (%)	1.2193	1.5432	0.4994	1.5287	2,9169	2,7758	-
CABC	Best Err. (%)	0.2852	0.3371	0	0.6109	0,6661	1,0457	2,0405
	Ave. Err. (%)	0.4715	0.5090	0	0.7846	0,9508	1,4989	2,4365
qCABC	Best Err. (%)	0.2535	0.1771	0	0.5412	0,3237	0,9098	2,2158
	Ave. Err. (%)	0.4822	0.4781	0	0.8493	0,8844	1,4695	2,4940

Tabela 13. Comparação de desempenho de algoritmos quando $L = 2$

Método		BERLIN52	KROA100	PR144	CH150	KROB150	PR152	RAT195
EXC	Best Err. (%)	0	0,1692	0,2426	1,9761	2,9277	2,0358	4,477
	Ave. Err. (%)	2,0353	2,8714	0,533	2,8232	5,0919	3,99	5,9836
DISP	Best Err. (%)	0,0663	4,2947	1,4845	3,4161	7,8263	4,7216	5,0366
	Ave. Err. (%)	1,424	8,0552	1,7628	3,9859	10,4635	5,5932	6,9393
INV	Best Err. (%)	0	2,6125	1,0284	2,9412	7,1183	3,1202	3,7021
	Ave. Err. (%)	1,1854	4,7965	1,9755	3,6596	9,0521	5,0318	6,3108
INS	Best Err. (%)	0	0,4652	0,1879	0,6434	1,8178	1,3938	4,2617
	Ave. Err. (%)	0,1525	3,0726	1,3802	2,3943	4,5488	2,8468	5,7426
SIM	Best Err. (%)	0	0,1692	0,2255	0,8425	2,8397	1,5282	2,3676
	Ave. Err. (%)	0,6099	1,3114	1,1717	1,5809	3,8596	2,7976	4,1886
SCM	Best Err. (%)	0	0,8176	0,1589	0,9344	3,2836	1,5146	4,6492
	Ave. Err. (%)	0	3,6966	1,3016	2,1078	7,0609	2,694	5,9923
GSM	Best Err. (%)	0	0,3007	0,2426	1,6544	3,452	2,2977	4,3048
	Ave. Err. (%)	0,9931	3,698	0,6891	2,4908	4,9541	2,9112	6,5476
GSTM	Best Err. (%)	0	0	0	0,4596	0,9644	0,7695	0,6027
	Ave. Err. (%)	0	1,1836	1,0809	0,6357	1,7616	1,6202	1,8425
CABC	Best Err. (%)	0	0	0,0905	0,3217	0,2143	0	0,8610
	Ave. Err. (%)	0	0,0423	0,1787	0,5086	0,7960	0,1493	1,3947
qCABC	Best Err. (%)	0	0	0,0905	0,3830	0,4631	0	1,0331
	Ave. Err. (%)	0	0,0324	0,1490	0,5453	0,8190	0,3006	1,3000

Tabela 14. Tabela 13 continuação.

Método	D198	KROA200	TS225	PR226	PR299	LIN318	PCB442	FL1577
EXC	Best Err. (%)	1.9709	2.5061	3.0424	4.9186	10,2198	7,3437	-
	Ave. Err. (%)	4.9728	4.9877	3.8174	7.2295	15,1775	10,4774	-
DISP	Best Err. (%)	3.891	6.7284	3.3693	4.1322	12,2616	11,3435	-
	Ave. Err. (%)	5.9835	8.8276	3.8916	7.993	16,849	12,3053	-
INV	Best Err. (%)	2.6743	6.2245	3.1640	8.1512	10,9543	10,5124	-
	Ave. Err. (%)	4.9823	8.3594	3.7355	8.8249	15,706	11,6322	-
INS	Best Err. (%)	2.0279	2.1554	3.1751	3.8423	3,8804	8,9685	-
	Ave. Err. (%)	3.41	4.2819	3.8767	6.484	11,4187	11,0585	-
SIM	Best Err. (%)	1.6984	1.5766	1.6930	2.5769	6,439	6,3728	-
	Ave. Err. (%)	2.5241	3.2457	2.5818	4.1795	9,1264	8,124	-
SCM	Best Err. (%)	3.1179	3.9873	2.7945	3.7875	10,8776	7,8597	-
	Ave. Err. (%)	4.5818	5.4502	3.8029	5.0694	13,8686	10,6251	-
GSM	Best Err. (%)	3.0482	4.4675	3.0424	5.0517	8,8191	5,7643	-
	Ave. Err. (%)	4.2421	5.7018	4.4254	6.4485	13,6295	8,0389	-
GSTM	Best Err. (%)	0.3866	0.8683	0.2527	0.7242	1,2326	2,0501	-
	Ave. Err. (%)	1.2193	1.5432	0.4994	1.5287	2,9169	2,7758	-
CABC	Best Err. (%)	0.2852	0.3371	0	0.6259	0.9317	1.0457	1.8697
	Ave. Err. (%)	0.4715	0.5090	0.0858	0.9506	1,1456	1.4989	2,5381
qCABC	Best Err. (%)	0.4119	0.3167	0	0.6308	0.6682	1,2308	1,9237
	Ave. Err. (%)	0.6065	0.5400	0	0.8569	1.1039	1,5052	2.4482

Tabela 15. Resultados dos testes estatísticos.

	Comparado Pares	Mau Diferença	<i>N</i>	<i>p</i> Valor de Teste t pareado	<i>p</i> valor de Teste Wilcoxon
Caso 1	GSTM-CABC	0,907	14	0,000	0,000
	GSTM-qCABC	0,906	14	0,000	0,000
	CABC-qCABC	- 0,005	15	0,685	0,839
Caso 2	GSTM-CABC	0,842	14	0,000	0,000
	GSTM-qCABC	0,840	14	0,000	0,000
	CABC-qCABC	0,004	15	0,834	0,715

As Tabelas 11–14, algumas análises estatísticas são realizadas para os algoritmos GSTM, CABC e qCABC para ver se há uma diferença significativa entre os desempenhos desses algoritmos. Uma vez que os dados de teste têm distribuição aproximadamente normal, o teste t pareado, um dos testes paramétricos, é usado para comparar as médias de duas amostras. A hipótese nula é que a diferença média das amostras é igual a 0. No entanto, o tamanho da amostra pode ser pequeno para o teste t pareado. Assim, o teste de postos sinalizados de Wilcoxon, que é um teste não paramétrico, também é aplicado. A hipótese nula deste teste é que a diferença mediana entre pares de observações é igual a 0. Os pares comparados, diferença média dos erros percentuais, tamanhos de amostra (N) e os valores são dados na Tabela 15. Nesta tabela, o caso 1 apresenta os resultados do teste para algoritmos ABC tendo os mais apropriados eu valores, enquanto o caso 2 apresenta os resultados para algoritmos ABC com o mesmo eu valores ($L = 2$). Quando os resultados são examinados, ambos os testes estatísticos afirmam que os algoritmos CABC e qCABC têm desempenho significativamente melhor do que o GSTM em ambos os casos. Quando a diferença média dos erros percentuais são considerados, CABC produz melhores resultados do que qCABC no caso 1 e qCABC produz resultados melhores do que CABC no caso 2. No entanto, essas diferenças não são significativas de acordo com o teste t pareado com $p = 0,685$ e $p = 0,834$ e teste de classificação sinalizada de Wilcoxon com $p = 0,839$ e $p = 0,715$. Observe que esses testes são realizados para os resultados finais de 800.000 avaliações.

Para apresentar o desempenho de convergência do CABC e do qCABC, quatro problemas de teste são selecionados como tendo diferentes e vários números de cidades. Os gráficos de convergência dos algoritmos são mostrados nas Figs. 6–9 para problemas KroA100, KroA200, b442 e FI1577, respectivamente. Esses números demonstram que o qCABC é mais rápido do que o CABC para todos os problemas considerados com 100, 200, 442 e 1577 cidades.

Estudos mostram que ABC fornece melhor desempenho do que muitos algoritmos de otimização baseados em computação evolutiva, especialmente no significado de exploração, uma vez que tem um mecanismo eficaz na fase de abelha escoteira. Além disso, na fase de abelhas empregadas, todas as soluções na população são tentadas a melhorar uma vez, realizando uma pesquisa na vizinhança ao redor delas, não procurando se essa solução é boa ou não. No entanto, todas as fontes de alimento podem não ser consideradas da mesma forma na fase das abelhas espectadoras. Mais pesquisas de vizinhança são realizadas para as melhores soluções nesta fase. Na verdade, a exploração de melhores soluções é realizada

20

15

10

5

0

Erro (%)

20

15

10

5

Erro (%)

CABC

qCABC

12

10

8

6

4

2

0

0

500

600

700

800

900

1000

1100

1200

1300

1400

1500

1600

1700

1800

1900

2000

2100

2200

CABC

qCABC

12

10

8

6

4

2

0

0

500

600

700

800

900

1000

1100

1200

1300

1400

1500

1600

1700

1800

1900

2000

2100

2200

CABC

qCABC

12

10

8

6

4

2

0

0

500

600

700

800

900

1000

1100

1200

1300

1400

1500

1600

1700

1800

1900

2000

2100

2200

CABC

qCABC

12

10

8

6

4

2

0

0

500

600

700

800

900

1000

1100

1200

1300

1400

1500

1600

1700

1800

1900

2000

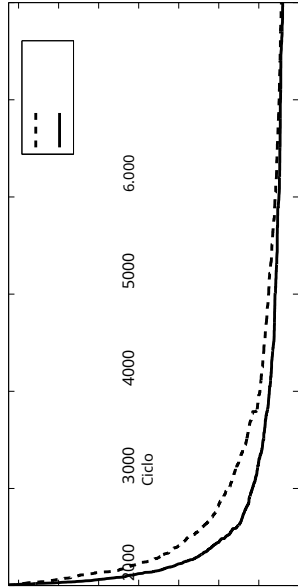
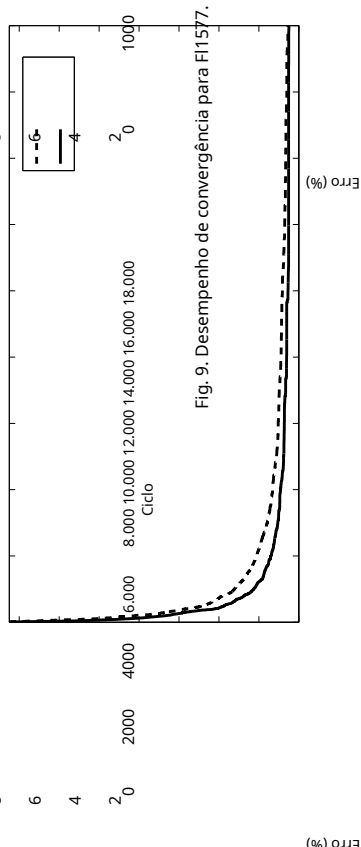
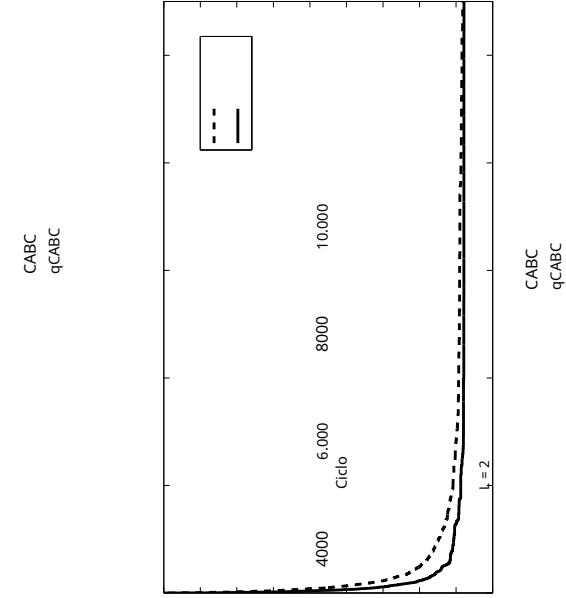
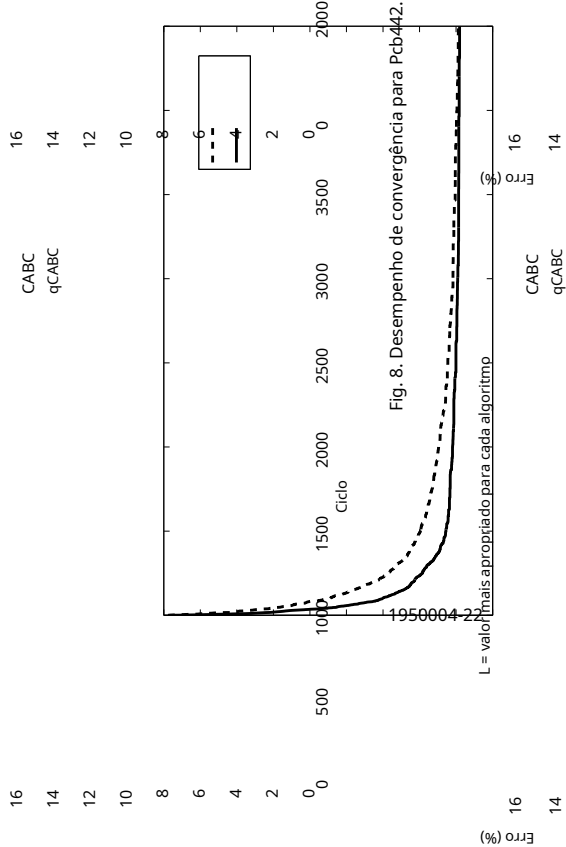
2100

2200

Fig. 6. Desempenho de convergência para KroA100.

L = valor mais apropriado para cada problema

Fig. 7. Desempenho de convergência para KroA200.



o algoritmo de uma forma poderosa como a exploração é declarada. Assim, o sucesso do ABC não está apenas relacionado com o tipo de problema de otimização (por exemplo, numérico ou combinatório), o poder do algoritmo está na sua estrutura de busca que se baseia no bom equilíbrio entre os mecanismos de exploração e aproveitamento. Embora o padrão ABC seja introduzido para problemas numéricos, se pudermos proteger seus mecanismos balanceados de exploração-exploração enquanto o adaptamos a problemas discretos, o sucesso do algoritmo continuará. Visto que o CABC é aprimorado com o emprego de um operador de mutação eficaz, considerando o mecanismo de busca de refinância do ABC original, ele mantém sua superioridade. E também o modelo qABC propõe uma ideia para aumentar a exploração de melhores soluções e isso acarreta uma busca local mais rápida através de ciclos.

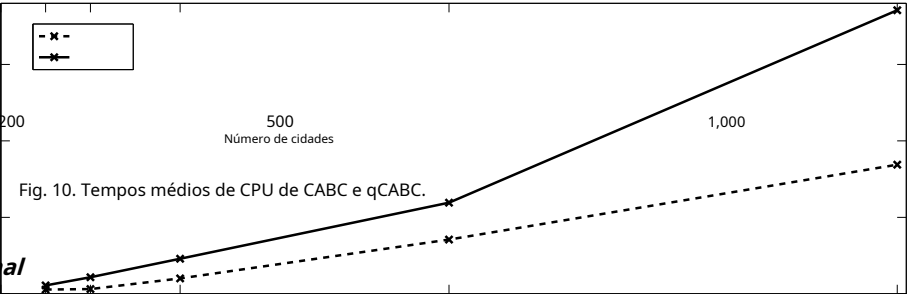
1. Tempos de CPU dos algoritmos CABC e qCABC

Nesta seção, os tempos de CPU dos algoritmos CABC e qCABC são fornecidos para 50, 100, 200, 500 e 1000 problemas de cidade quando o tamanho da colônia é 40, $limite = (tamanho\ da\ colônia * dimensão)/2$ e o critério de parada é atingir um total de 4000 avaliações. 30 execuções independentes são realizadas para cada caso e os valores médios e desvios padrão de 30 execuções são apresentados na Tabela 16. Os tempos de CPU dos algoritmos podem ser avaliados considerando a mudança de dimensão. Essa alteração é mostrada em um gráfico demonstrando os valores médios dos tempos de CPU na Fig. 10 para os algoritmos CABC e qCABC. Essas análises foram realizadas no Windows 10 Education em um processador Intel (R) Core (TM) M-5Y51 de 1,20 GHz com 8 GB de RAM e os algoritmos foram codificados usando a linguagem de programação C Sharp e o perfil do cliente .net framework 4 foi usado.

A Tabela 16 mostra que, o tempo de CPU necessário de qCABC é maior do que o algoritmo CABC para completar 4000 avaliações de função, pois há uma parte adicional na fase de buscas observadoras. No entanto, a taxa de incremento no tempo de computação completo de qCABC é menor do que a taxa de incremento da dimensão, como o algoritmo CABC para a taxa de dimensão 100/50. Para valores de dimensão maiores, as taxas de incremento em ambos os algoritmos são maiores do que a taxa de incremento da dimensão.

Tabela 16. Tempos de CPU para problemas com diferentes números de cidades.

Número de cidades	CABC		qCABC	
	Mau	Std	Mau	Std
50	0,2787	0,0952	0,5521	0,1398
100	0,3115	0,0188	1,0844	0,1822
200	1,0100	0,2325	2,2947	0,1855
500	3,5468	0,11118	5,9587	0,7467
1000	8,4452	1,6377	18,5469	0,9318



2. Estudo adicional

fim de comparar o desempenho de CABC e qCABC com outros algoritmos baseados em
 inteligência de enxame, apresentamos os resultados de ABCs e ACS na Tabela 17 e BCO
 na Tabela 18. Observe que, ACS e BCO que foram originalmente introduzidos para
 pesquisa em espaços discretos foram considerados nessas comparações. Usamos os
 mesmos resultados da Tabela 11 para CABC e qCABC.

A Tabela 17 relata as melhores durações e o número de passeios necessários para
 encontrar o melhor passeio (entre parênteses) para ACS, CABC e qCABC. Os resultados são
 tirados da Ref. 10 para ACS. Como visto na Tabela 17, qCABC produz melhores soluções

Tabela 17. Comparação de ACS, CABC e qCABC.

Problemas	ACS	CABC	qCABC
KROA100	21282 (4820)	21282 (61688)	21282 (1680)
D198	15888 (585000)	15825 (408388)	15820 (269680)
PCB442	51268 (595000)	51309 (145440)	51240 (339055)
FL1577	22977 (942000)	22703 (651242)	22742 (328763)

Tabela 18. Comparação de BCO, CABC e qCABC.

Problemas		BCO	CABC	qCABC
BERLIN52	Best Err. (%)	0	0	0
	Ave. Err. (%)	0	0	0
KROA100	Best Err. (%)	0,23	0	0
	Ave. Err. (%)	0,65	0,0423	0,0113
KROB150	Best Err. (%)	1,66	0,3100	0,2411
	Ave. Err. (%)	2,22	0,6950	0,7160

menor número de construções turísticas do que ACS para todos os problemas considerados. Também comparando os resultados do CABC, melhores soluções com menor número de construções turísticas são produzidas pelo qCABC para a maioria dos problemas, exceto FI1577. Para o problema KroA100, embora todos os algoritmos encontrem o comprimento de passeio ideal, o algoritmo CABC o encontra construindo mais passeios. Examinando a Tabela 18, pode-se dizer que o CABC é mais bem-sucedido do que o ACS para problemas D198 e FI1577. No entanto, para o problema D198, ACS tem melhor desempenho do que CABC.

A Tabela 18 apresenta os melhores e médios (%) erros dos algoritmos BCO, CABC e qCABC para problemas Berlin52, KroA100 e KroB150. Usamos os resultados de BCO fornecidos na Ref. 20. Na Ref. 20, o número de ciclos é 10.000 e o tamanho da colônia é igual ao número total de cidades para o algoritmo BCO (520.000 avaliações para Berlin52, 1.000.000 avaliações para KroA100 e 1.500.000 avaliações para KroB150). Como os parâmetros dos algoritmos CABC e qCABC são definidos como na Tabela 2, o número de avaliações de qCABC e CABC é 800.000 para todos os problemas. Embora ABCs sejam executados para mais avaliações (800.000), eles encontraram a duração ideal do tour para todas as execuções muito antes de 520.000 avaliações para o problema Berlin52. Para problemas KroA100 e KroB150, os algoritmos CABC e qCABC demonstram desempenhos muito melhores do que o algoritmo BCO.

O desempenho dos ABCs é geralmente melhor do que algoritmos bem conhecidos, GA e suas variantes, ACS e BCO para problemas de teste considerados. Consequentemente, pode-se concluir que CABC e qCABC podem ser empregados para resolver problemas do tipo TSP, de forma eficaz.

Conclusões

Neste estudo, duas variantes diferentes da abordagem ABC são explicadas para o TSP. Uma versão combinatória do ABC padrão, denominado algoritmo CABC e uma versão aprimorada do algoritmo CABC, denominado qCABC. Os estudos experimentais foram realizados em um conjunto de 15 problemas de teste de TSP. Em seguida, o desempenho desses dois algoritmos e das variantes de GA diferentes são comparados. Além disso, o desempenho dos ABCs também é comparado com algoritmos de sistema de colônia de formigas (ACS) e otimização de colônia de abelhas (BCO) que foram originalmente propostos para problemas do tipo combinatório. Além disso, algumas análises sobre os tempos de CPU dos algoritmos CABC e qCABC e alguns estudos de ajuste de parâmetro de *limite* são fornecidos. Quando os resultados nas tabelas de comparação foram examinados, ficou claro que os algoritmos CABC e qCABC podem resolver problemas com bastante sucesso. O desempenho de convergência do CABC é melhorado aplicando a ideia qABC para TSP.

Agradecimento

Este trabalho foi financiado pelo Fundo de Pesquisa da Universidade Erciyes, Número do projeto: FBA-11-3536.

- G. Laporte, O problema do caixeiro viajante: uma visão geral dos algoritmos exatos e aproximados, *European Journal of Operational Research* **59** (2) (1992) 231–247.
- P. Miliotis, Usando planos de corte para resolver o problema do caixeiro viajante simétrico, *Programação Matemática* **15** (1) (1978) 177–188.
- M. Padherg e R. Rinaldi, Otimização de um problema de caixeiro viajante simétrico de 532 cidades por ramo e corte, *Cartas de pesquisa operacional* **6** (1) (1987) 1-7.
- O. Martin, S. Otto e E. Felten, grandes cadeias de Markov para o problema do caixeiro viajante, *Sistemas Complexos* **5** (3) (1991) 299-326.
- GA Croes, um método para resolver problemas de caixeiros-viajantes, *Pesquisa Operacional* **6** (6) (1958) 791–812.
- G. Gutin, A. Yeo e A. Zverovich, caixeiro viajante não deve ser ganancioso: Análise de dominação de heurísticas do tipo ganancioso para o TSP, *Matemática Aplicada Discreta* **117** (1-3) (2002) 81-86.
- S. Kirkpatrick, CD Gelatt e MP Vecchi, Otimização por recozimento simulado, *Ciência* **220** (4598) (1983) 671–680.
- F. Glover, Tabu search - Um tutorial, *Interfaces* **20** (4) (1990) 74–94.
- Y. Nagata e S. Kobayashi, um poderoso algoritmo genético usando crossover de montagem de borda para o problema do caixeiro viajante, *Informa Journal on Computing* **25** (4) (2013) 346–363.
- M. Dorigo e LM Gambardella, sistema de colônia de formigas: uma abordagem de aprendizagem cooperativa para o problema do caixeiro viajante, *Transações IEEE em computação evolutiva* **1** (1) (1997) 53–66.
- J. Kennedy e R. Eberhart, um romance max-min ant system algoritmo para o problema do caixeiro viajante, em *Proc. do IEEE Int. Conf. na rede neural*, Vol. 4 (1995), pp. 1942-1948.
- R. Storn e K. Price, evolução diferencial - Uma heurística simples e eficiente para otimização global em espaços contínuos, *Journal of Global Optimization* **11** (4) (1997) 341–359.
- D. Karaboga, Uma ideia baseada em enxame de abelhas melíferas para otimização numérica, Tech. Rep. TR06, Universidade Erciyes, Faculdade de Engenharia, Departamento de Engenharia da Computação (2005).
- Z. Zhang e Z. Feng, um novo algoritmo de sistema de formiga máximo-mínimo para o problema do caixeiro viajante, em *Proc. da Computação Inteligente e Sistemas Inteligentes (ICIS 2009)* (2009), pp. 508-511.
- R. Gan, Q. Guo, H. Chang e Y. Yi, algoritmo de otimização de colônia de formigas aprimorado para os problemas do caixeiro viajante, *Jornal de Engenharia de Sistemas e Eletrônica* **21** (2) (2010) 329–333.
- S. Ilie e C. Badica, E ff ectiveness of resolver o problema do caixeiro viajante usando a otimização de colônia de formigas em middleware multiagente distribuído, em *Proc. do Int. Multiconferência em Ciência da Computação e Tecnologia da Informação* (2010), pp. 197–203.
- A. Puris, R. Bello e F. Herrera, Análise da eficácia de uma metodologia de dois estágios para otimização de colônias de formigas: Caso de estudo com TSP e QAP, *Sistemas especialistas com aplicativos* **37** (7) (2010) 5443–5453.
- M. Tuba e R. Jovanovic, algoritmo ACO aprimorado com estratégia de correção de feromônio para o problema do caixeiro viajante, *Jornal Internacional de Comunicações e Controle de Computadores* **8** (3) (2013) 477–485.
- LP Wong, MYH Low e CS Chong, Um algoritmo de otimização de colônia de abelhas para o problema do caixeiro viajante, em *Proc. da Segunda Ásia Int. Conf. em Modelagem e Simulação (AMS 2008)* (2008), pp. 818–823.

LP Wong, MYH Low e CS Chong, Otimização de colônias de abelhas com busca local por problema do caixeiro viajante, em *Proc. da Informática Industrial (INDIN 2008)* (2008), pp. 1019–1025.

Y. He, Y. Qiu, G. Liu e K. Lei, Uma abordagem de pesquisa de tabu adaptativa paralela para problemas de caixeiro-viajante, em *Proc. do IEEE Int. Conf. em Processamento de Linguagem Natural e Engenharia do Conhecimento* (2005), pp. 796–801.

N. Yang, P. Li e B. Mei, uma busca tabu cruzada baseada em ângulo para o problema do caixeiro viajante, em *Proc. do Int. Conf. na computação natural* (2007), pp. 512–516.

JW Pepper, BL Golden e EA Wasil, Resolvendo o problema do caixeiro viajante com heurísticas baseadas em recozimento: um estudo computacional, *Sistemas, Homem e Cibernética, Parte A: Sistemas e Humanos* **32** (1) (2002) 72–77.

JD Wei e DT Lee, Uma nova abordagem para o problema do caixeiro viajante usando algoritmos genéticos com codificação prioritária, em *Proc. do Congresso de Computação Evolutiva* (2004), pp. 1457–1464.

WL Zhong, J. Zhang e WN Chen, uma nova otimização de enxame de partículas discretas para resolver o problema do caixeiro viajante, em *Proc. do Congresso IEEE sobre Computação Evolutiva* (2007), pp. 3283–3287.

Z. Yuan, L. Yang, Y. Wu, L. Liao e G. Li, algoritmo de otimização de enxame de partículas caóticas para o problema do caixeiro viajante, em *Proc. do IEEE Int. Conf. em Automação e Logística* (2007), pp. 1121–1124.

RS Prado, RCP Silva, FG Guimarães e OM Neto, Usando a evolução diferencial para otimização combinatória: Uma abordagem geral, em *Proc. do IEEE Int. Conf. em Systems, Man and Cybernetics (SMC 2010)* (2010).

JG Sauer e L. dos S. Coelho, Evolução diferencial discreta com busca local para resolver o problema do caixeiro viajante: Fundamentos e estudos de caso, em *Proc. do 7º IEEE Int. Conf. em Sistemas Inteligentes Cibernéticos*, eds. R. Comley, B. Amavasai, X. Cheng, M. O'Grady, C. Huyck e N. Siddique (2008), pp. 299–304.

X. Wang e G. Xu, algoritmo de evolução diferencial híbrido para o problema do caixeiro viajante, em *Proc. do CEIS 2011*, eds. C. Ran e G. Yang, **15** (2011).

D. Karaboga, algoritmo Arti fi cial bee colony (ABC), *Scholarpedia* **5** (3) (2010) 6915.

D. Karaboga, B. Gorkemli, C. Ozturk e N. Karaboga, uma pesquisa abrangente: algoritmo e aplicações de colônia de abelhas artificiais (ABC), *Revisão de Inteligência Arti fi cial* (2012).

JC Bansal, H. Sharma e SS Jadon, Arti fi cial bee colony algoritmo: A survey, *International Journal of Advanced Intelligence Paradigms* **5** (1/2) (2013) 123–159.

AL Bolaji, AT Khader, MA Al-Betar e MA Awadallah, Algoritmo de colônia de abelha artificial, suas variantes e aplicações: um levantamento, *Journal of Theoretical & Applied Information Technology* **47** (2) (2013) 434–459.

B. Kumar e D. Kumar, Uma revisão sobre algoritmo de colônia de abelhas arti fi cial, *Jornal Internacional de Engenharia e Tecnologia* **2** (3) (2013) 175–186.

K. Balasubramani e K. Marcus, uma revisão abrangente do algoritmo de colônia de abelhas arti fi cial, *International Journal of Computers & Technology* **5** (1) (2013) 15–28.

L. Li, Y. Chong, L. Tan e B. Niu, um algoritmo discreto de colônia de abelha artificial para o problema de TSP, em *Proc. da 7ª Int. Conf. em computação inteligente (ICIC)* (2011), pp. 566–573.

W. Li, W. Li, Y. Yang, H. Liao, JL Li e X. Zheng, Arti fi cial bee colony algoritmo para o problema do caixeiro viajante, em *Proc. do Int. Conf. em Design Avançado e Engenharia de Manufatura (ADME 2011)* (2011), pp. 2191–2196.

- D. Karaboga e B. Basturk, No desempenho de algoritmo de colônia de abelhas arti fi cial (ABC), *Applied Soft Computing* **8** (1) (2008) 687–697.
- M. Albayrak e N. Allahverdi, desenvolveram um novo operador de mutação para resolver o problema do caixeiro viajante com o auxílio de algoritmos genéticos, *Sistemas especialistas com aplicativos* **38** (3) (2011) 1313–1320.
- D. Karaboga e B. Gorkemli, um algoritmo de colônia de abelhas arti fi cial combinatória para o problema do caixeiro viajante, em *Proc. do INISTA 2011: Int. Symp. em inovações em sistemas e aplicativos inteligentes* (2011), pp. 50–53.
- D. Karaboga e B. Gorkemli, Uma colônia de abelhas arti fi cial rápida -qABC- algoritmo para problemas de otimização, em *Proc. do INISTA 2012: Int. Symp. em inovações em sistemas e aplicativos inteligentes* (2012).
- D. Karaboga e B. Gorkemli, um algoritmo de colônia de abelhas arti fi cial rápida (qABC) e seu desempenho em problemas de otimização, *Applied Soft Computing* **23** (2014) 227–238.
- B. Gorkemli e D. Karaboga, Quick combinatorial arti fi cial bee colony -qCABCOptimization algoritmo for TSP, in *Proc. do Segundo Int. Symp. em Computação em Informática e Matemática (ISCIM 2013)* (2013).
- D. Karaboga e B. Akay, Um estudo comparativo do algoritmo de colônia de abelhas arti fi cial, *Matemática Aplicada e Computação* **214** (1) (2009) 108-132.